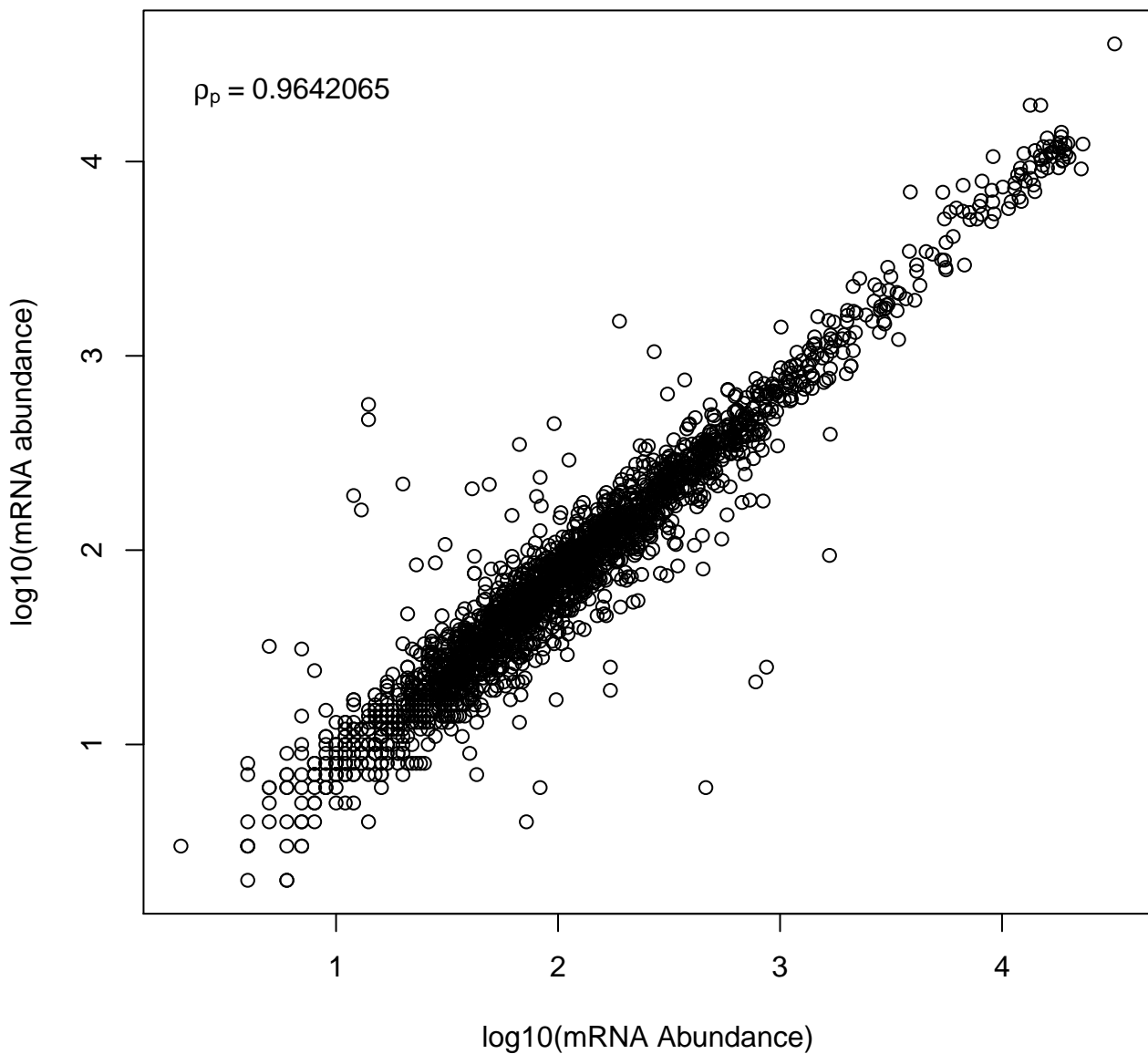
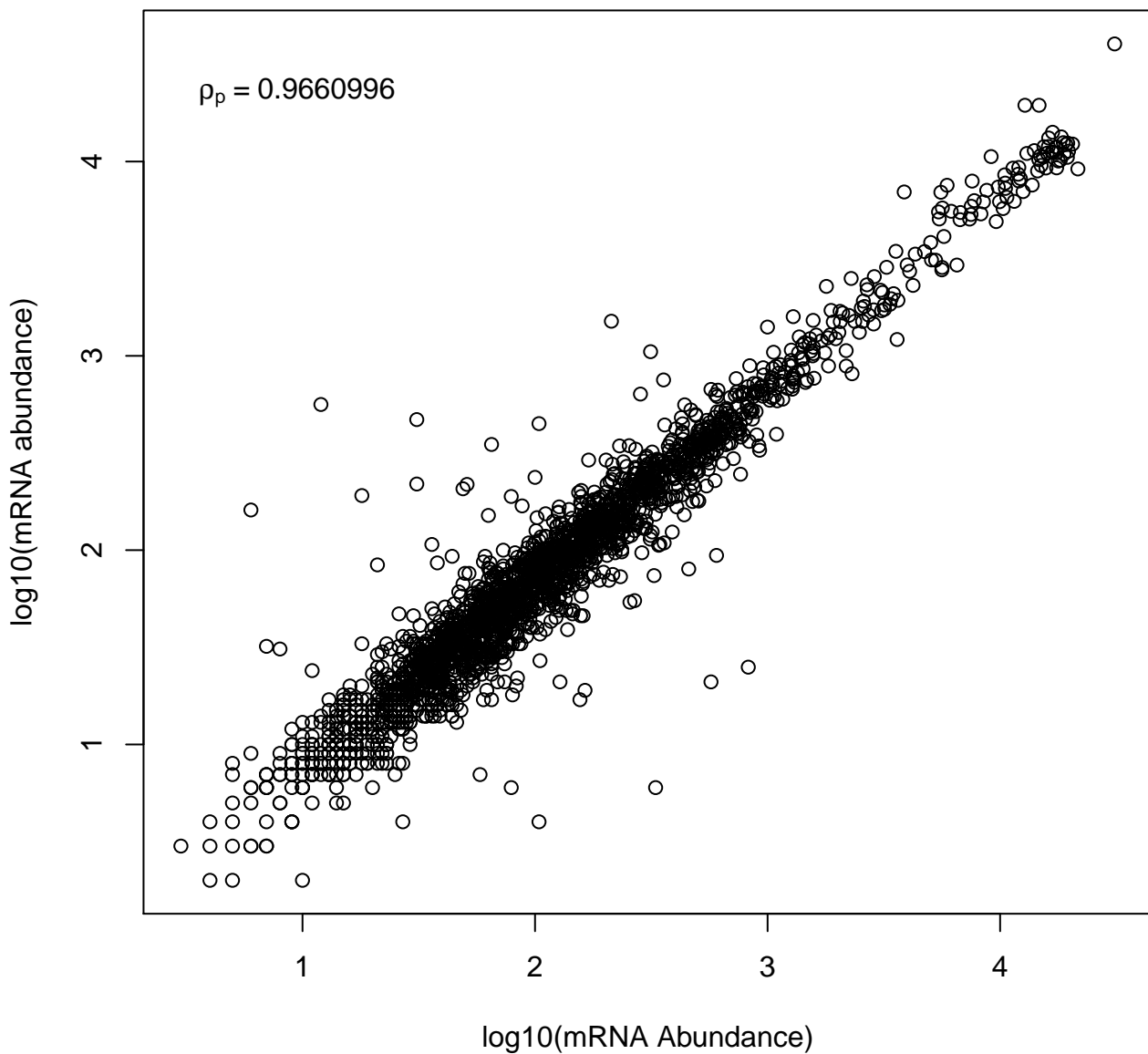


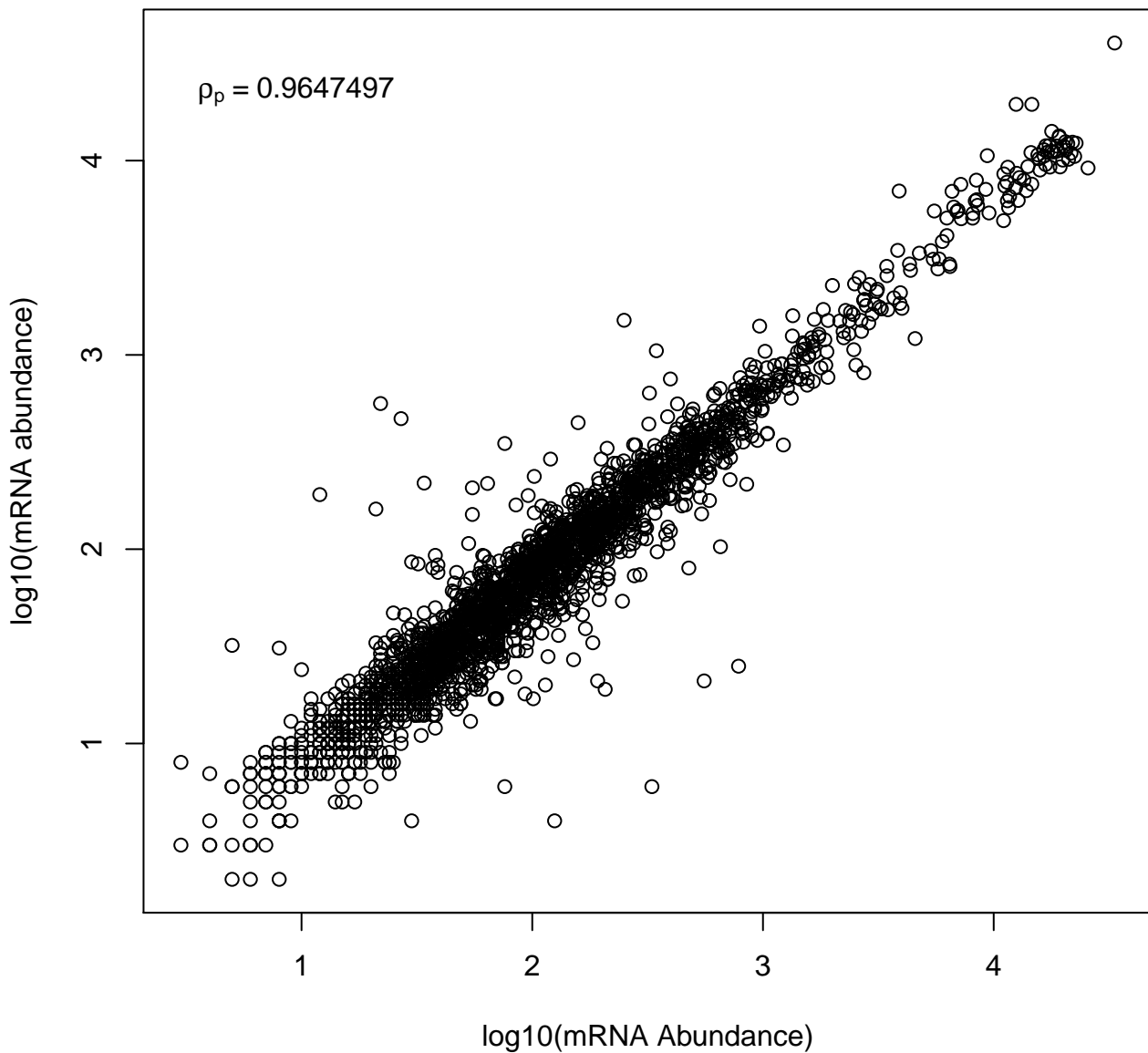
# Sample 1 vs Li et al



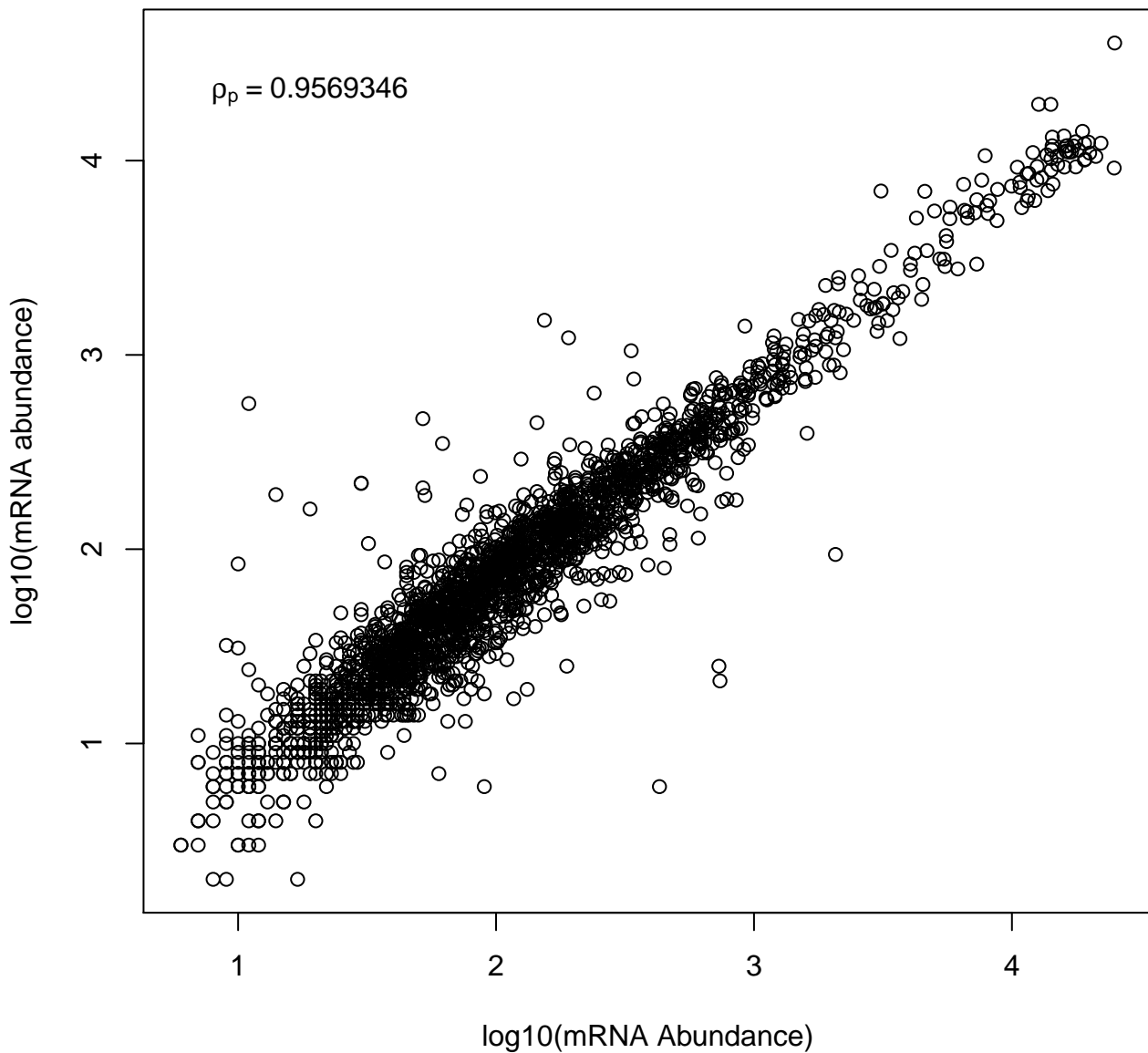
# Sample 2 vs Li et al



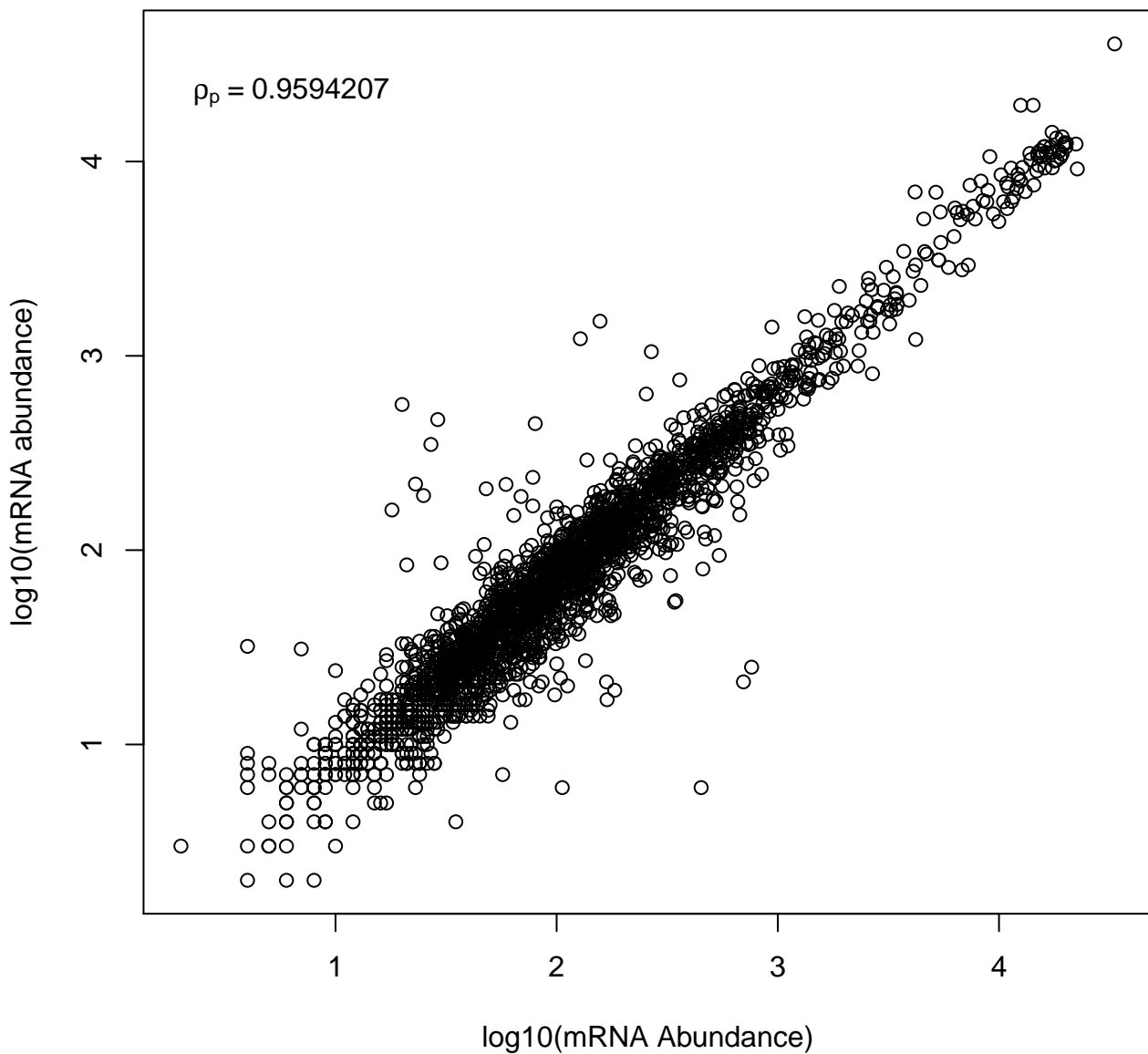
# Sample 3 vs Li et al



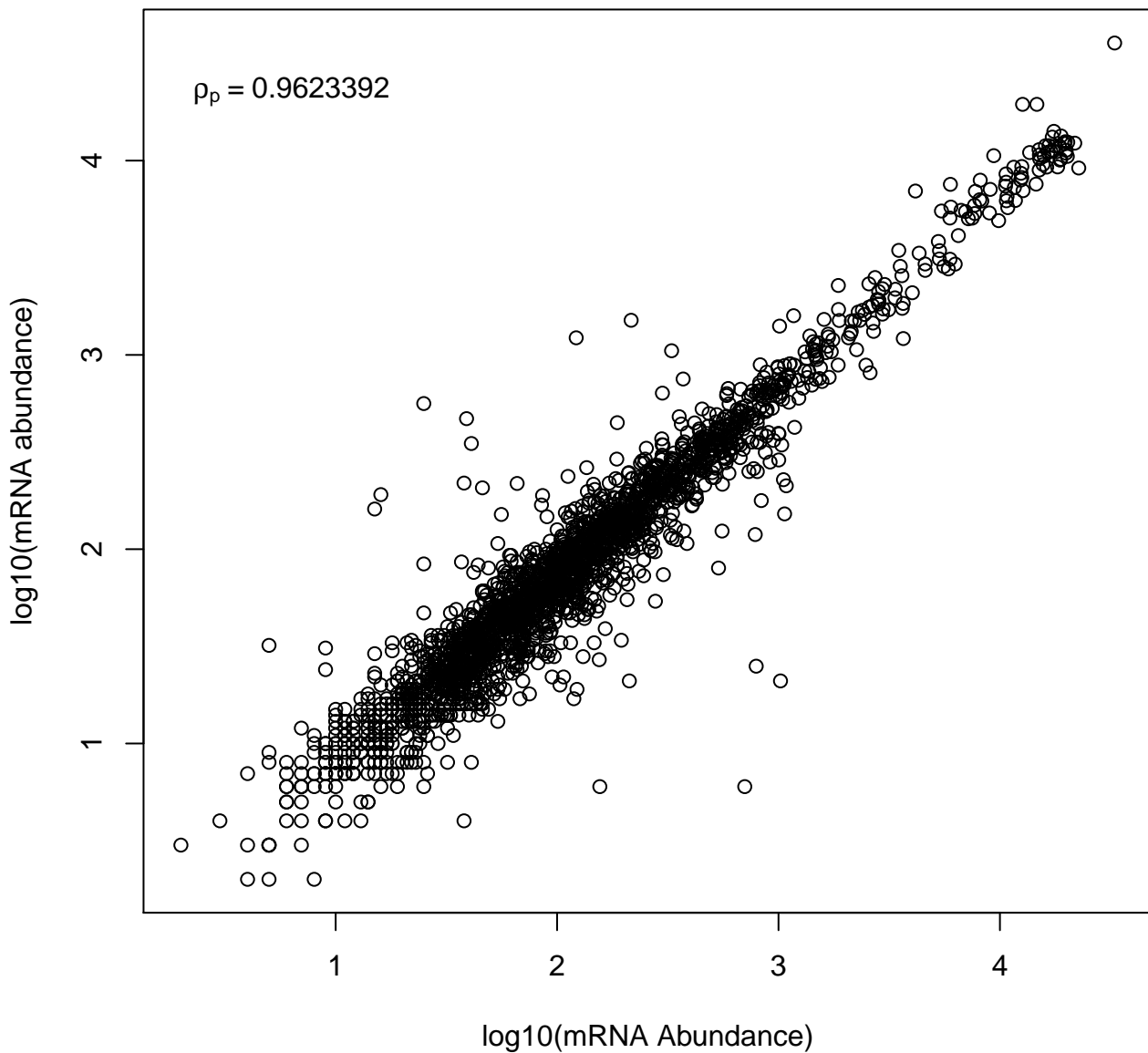
Sample 4 vs Li et al



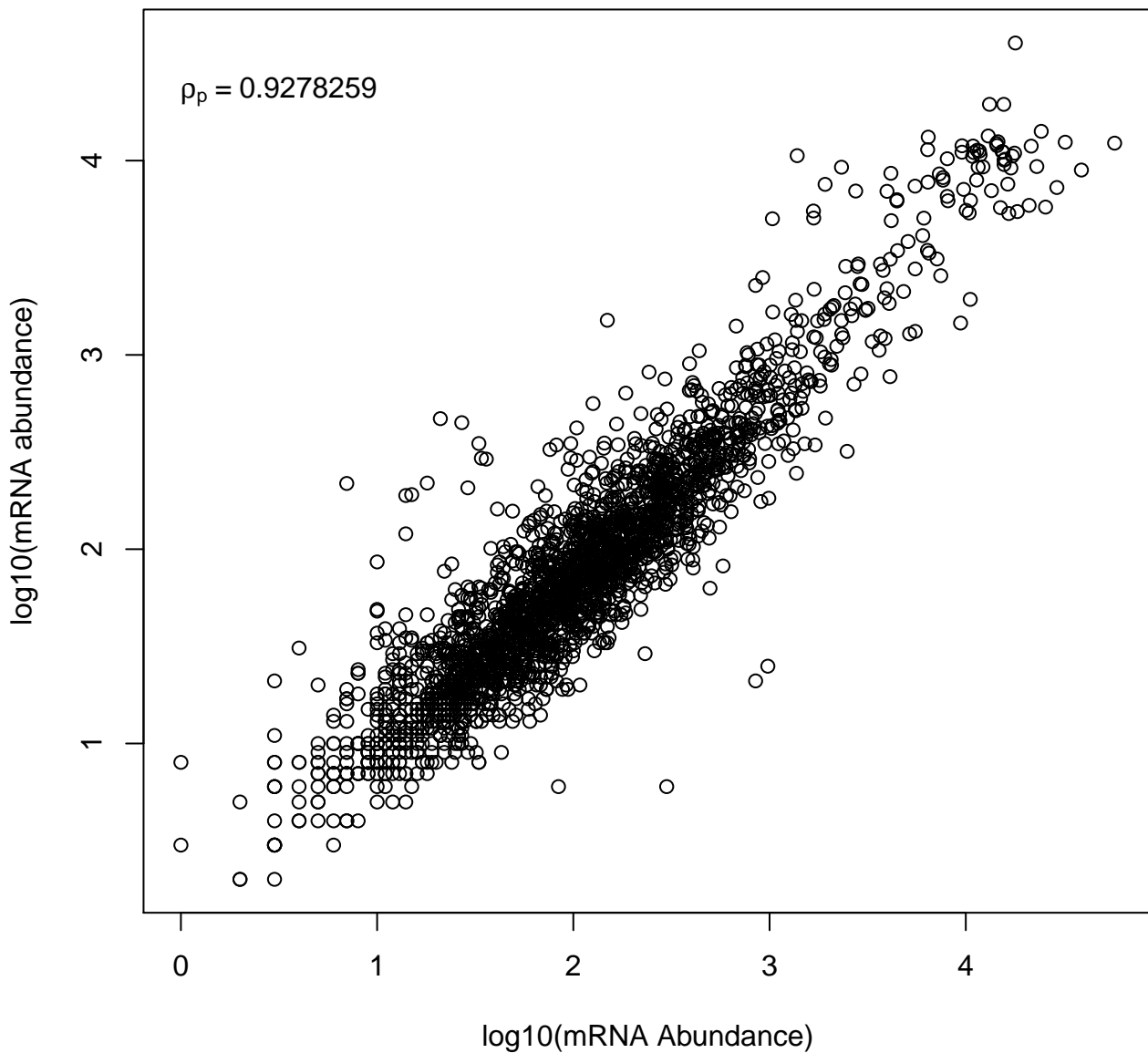
# Sample 5 vs Li et al



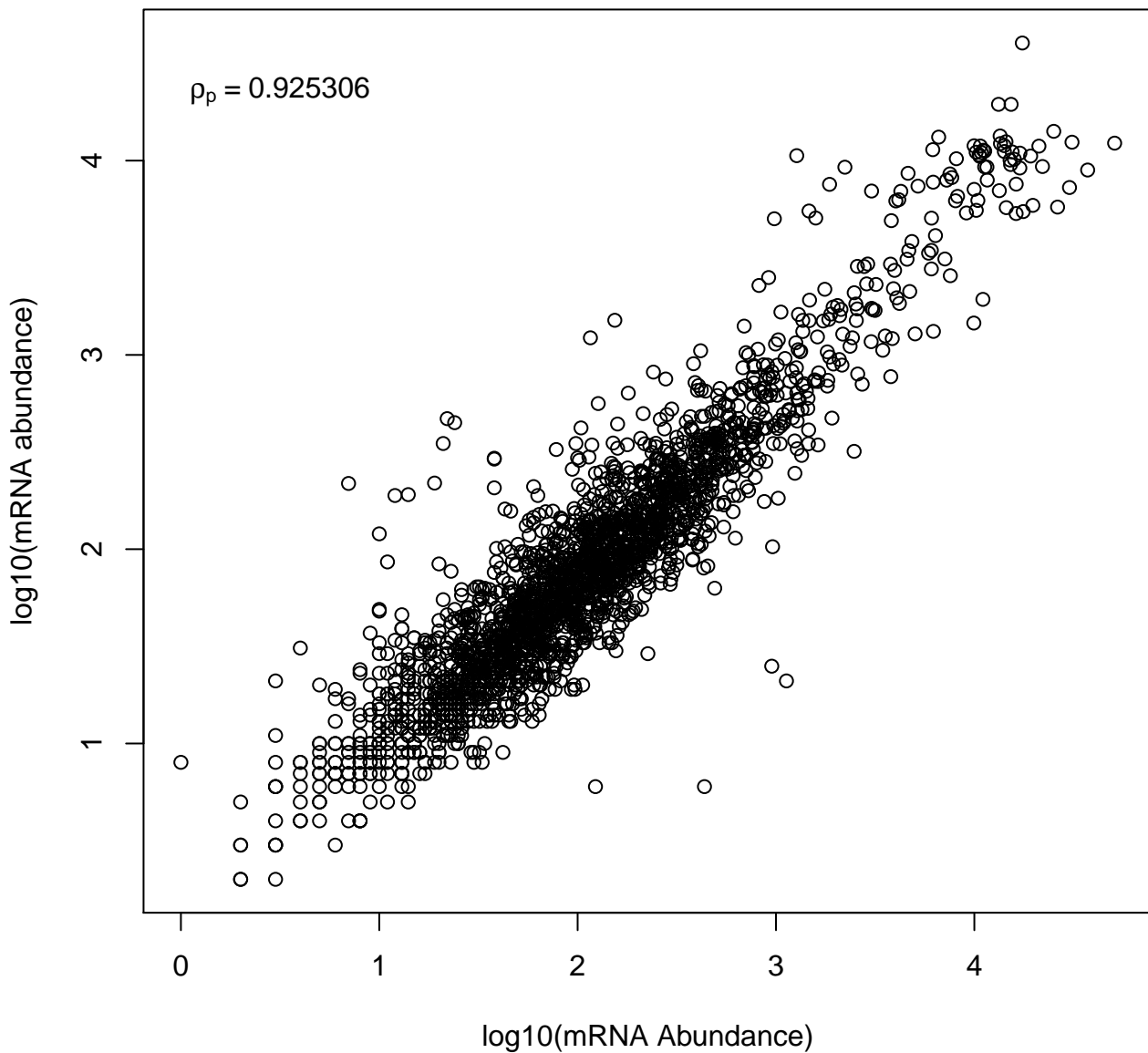
# Sample 6 vs Li et al



# Sample 7 vs Li et al

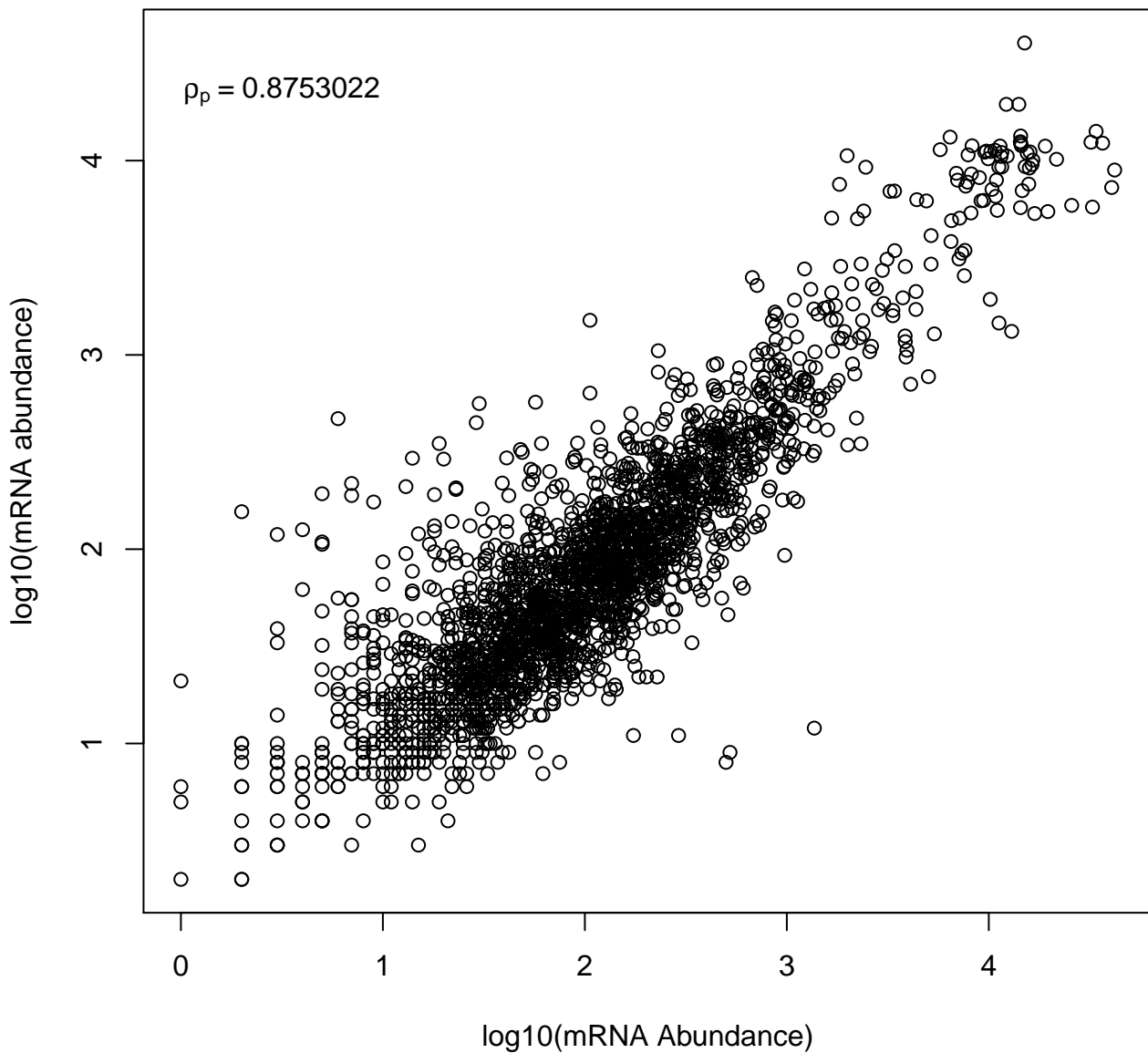


# Sample 8 vs Li et al

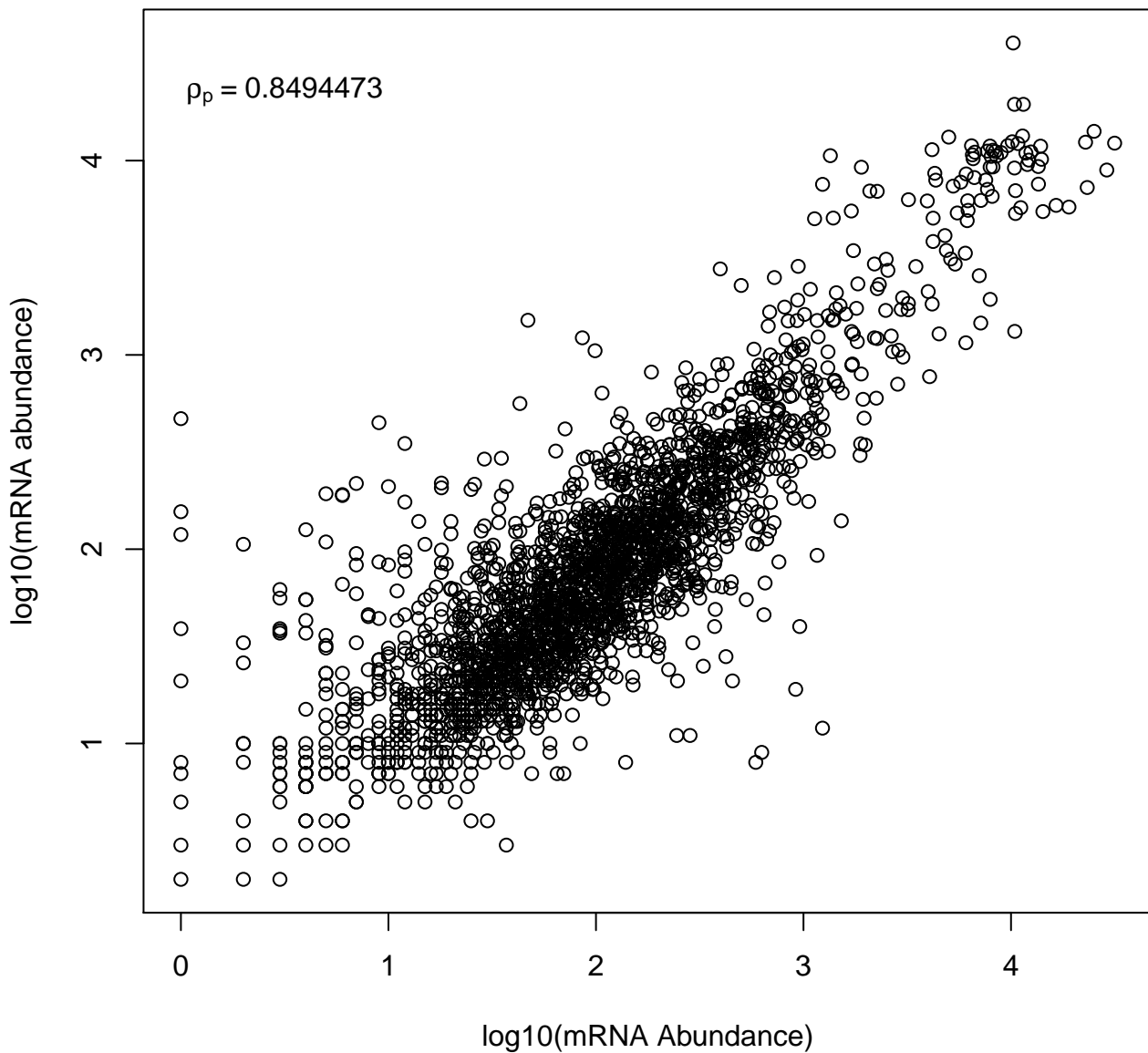




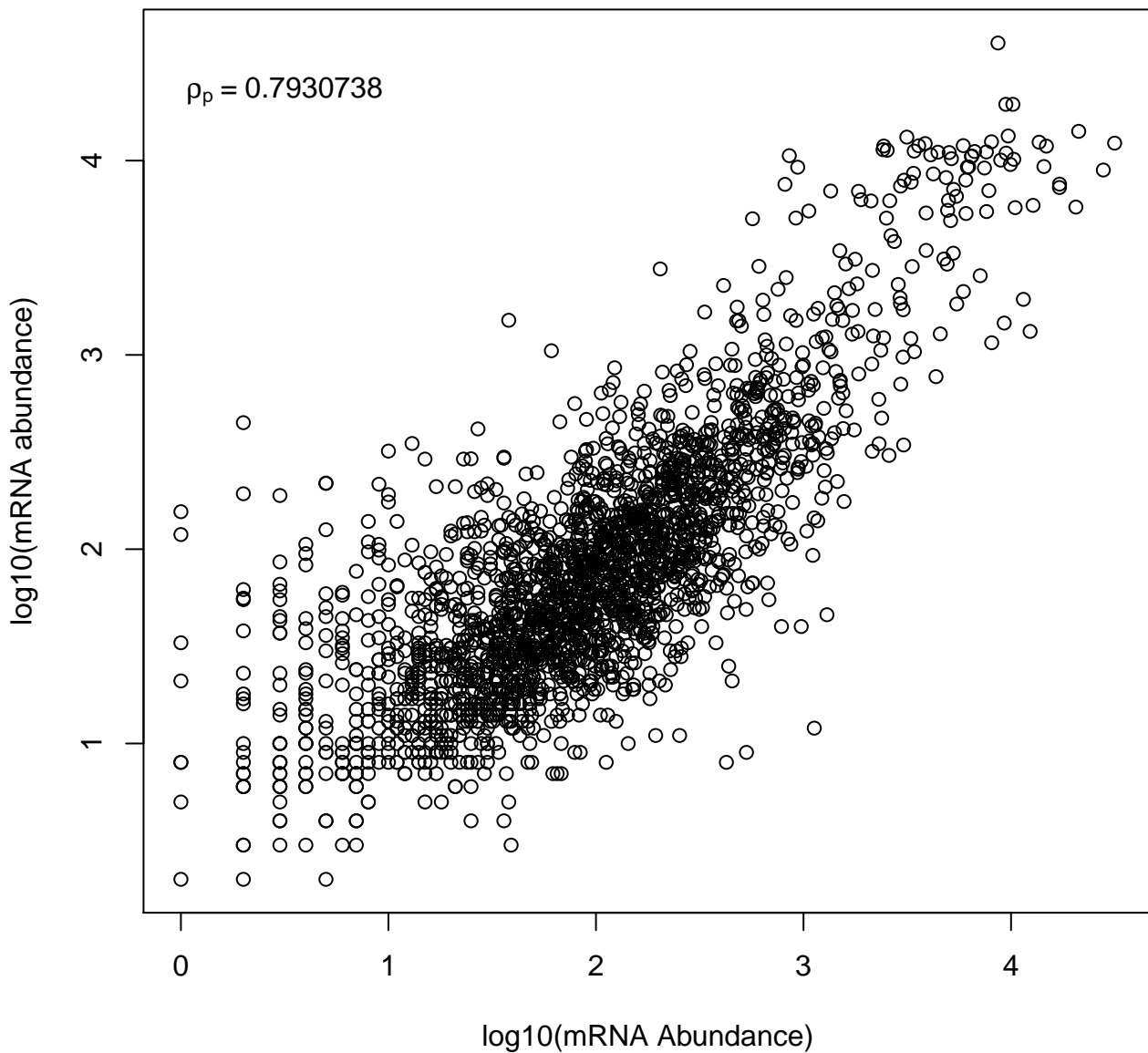
# Sample 9 vs Li et al



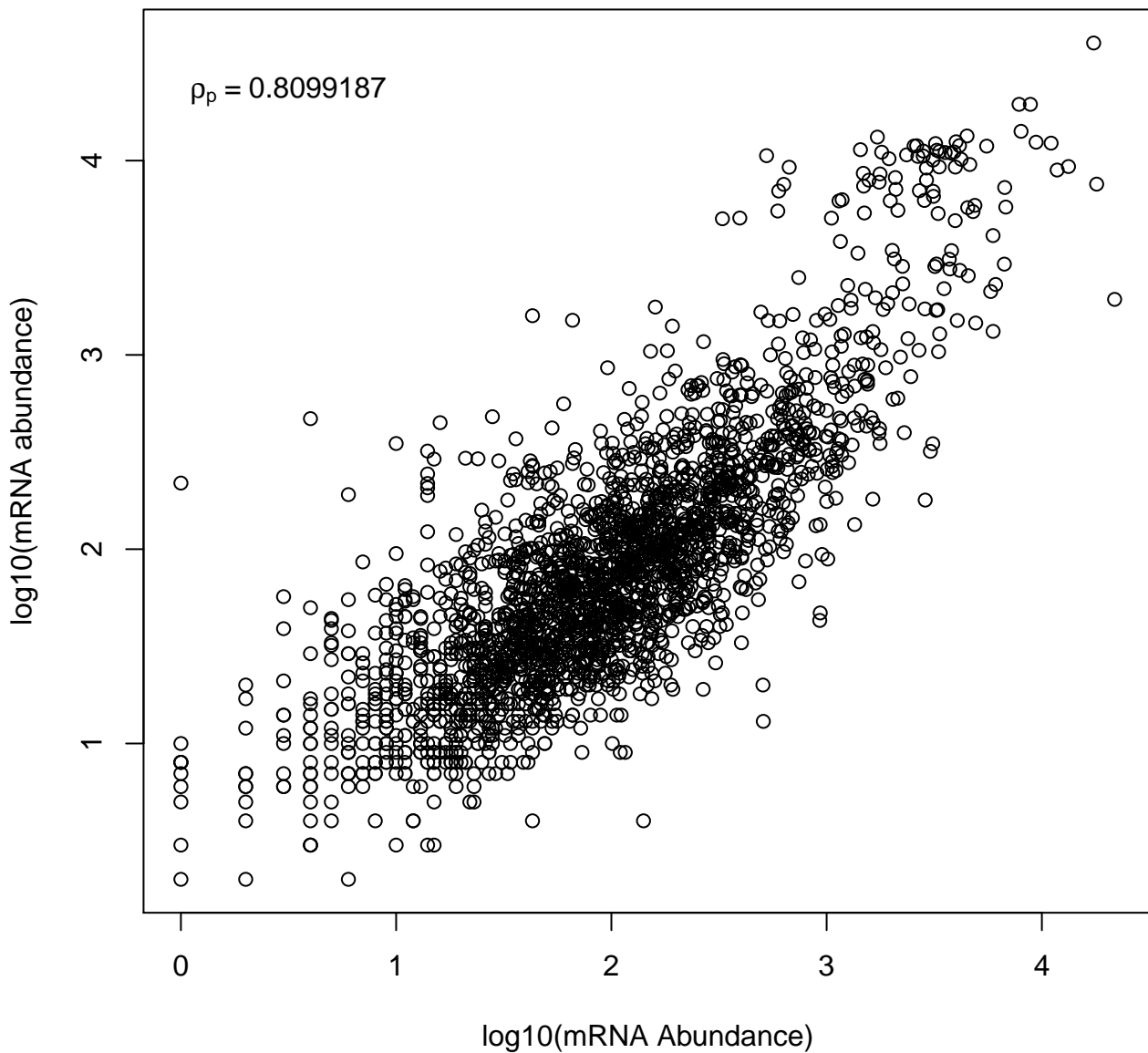
# Sample 10 vs Li et al



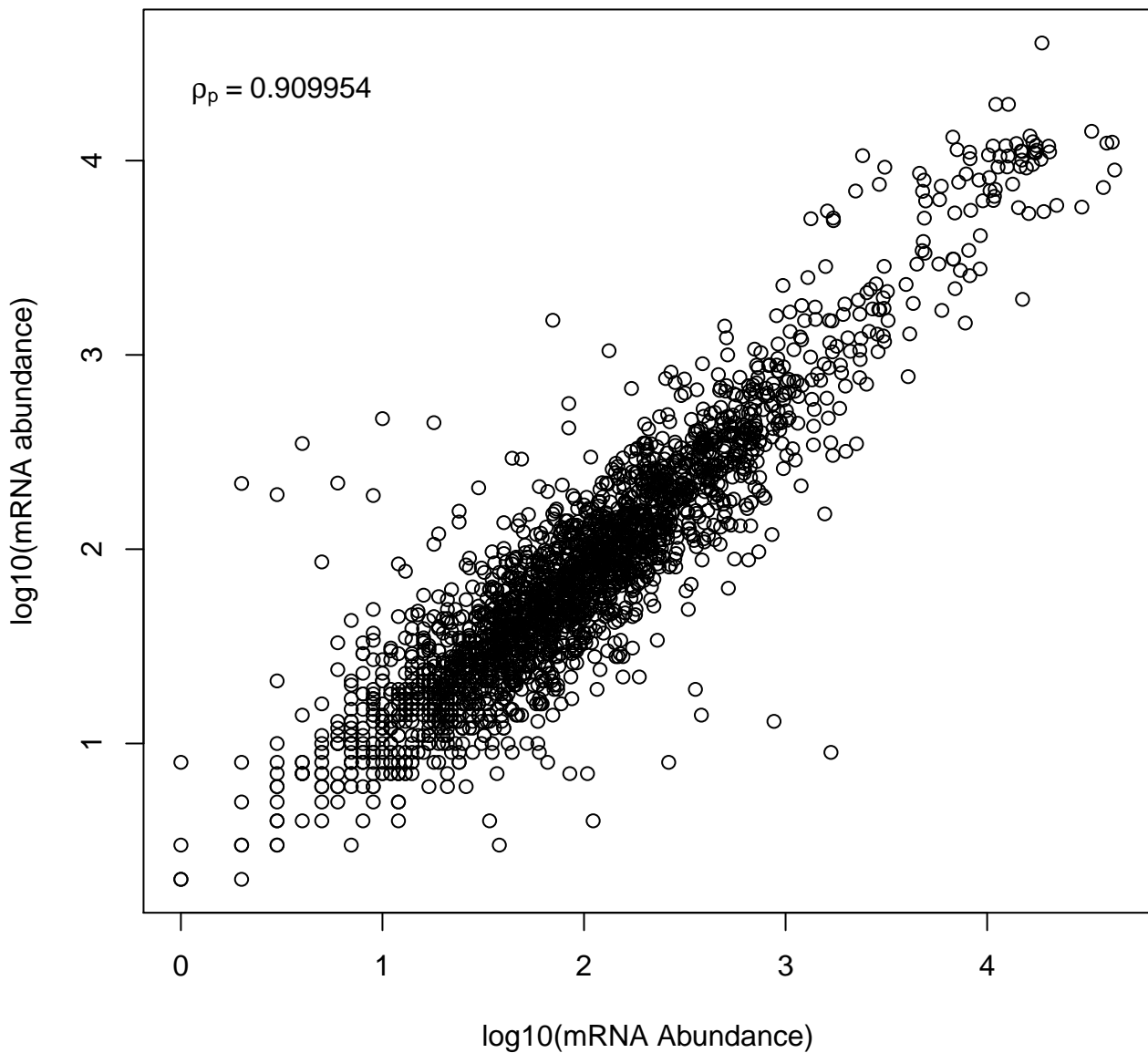
# Sample 11 vs Li et al



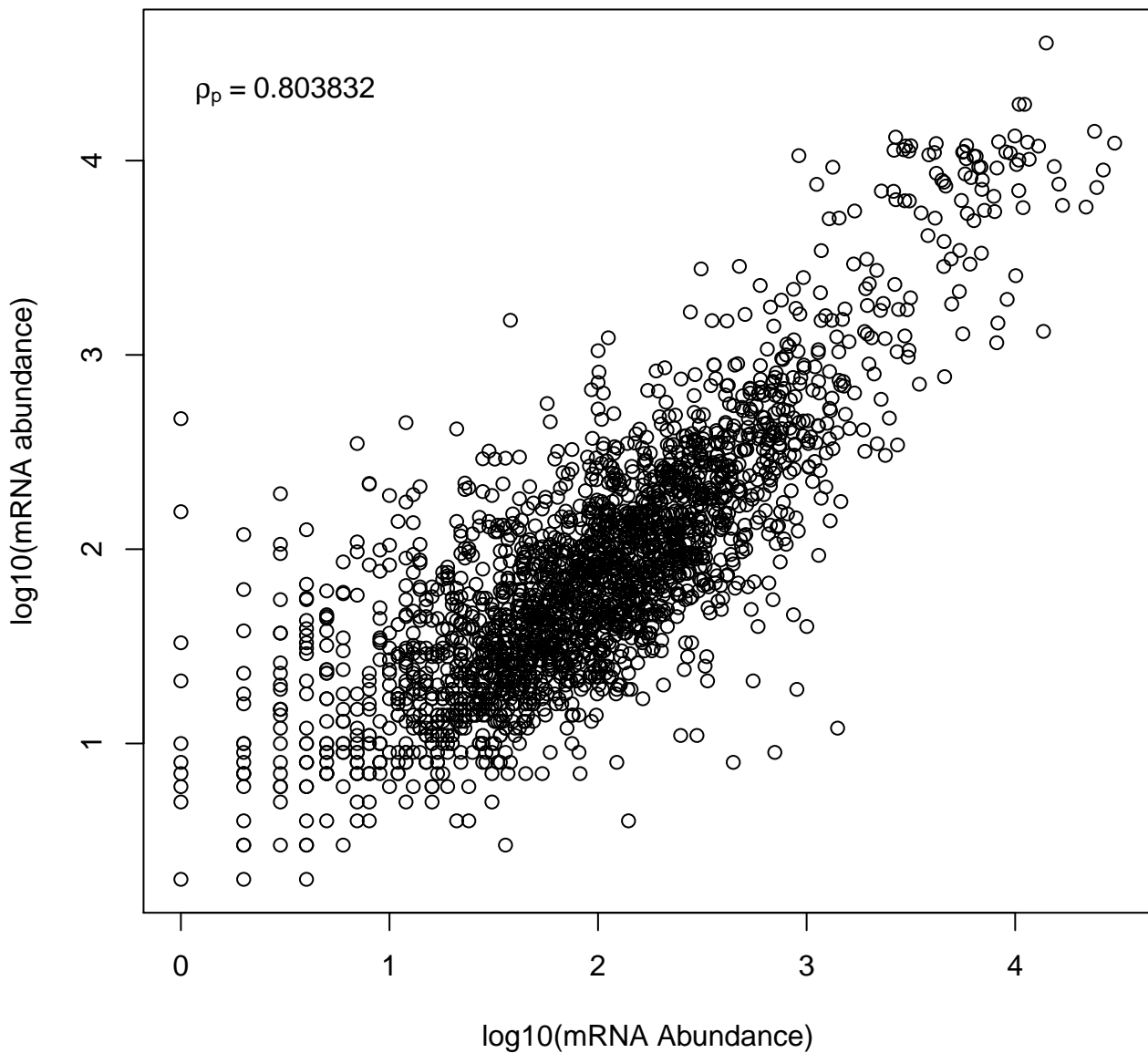
# Sample 12 vs Li et al



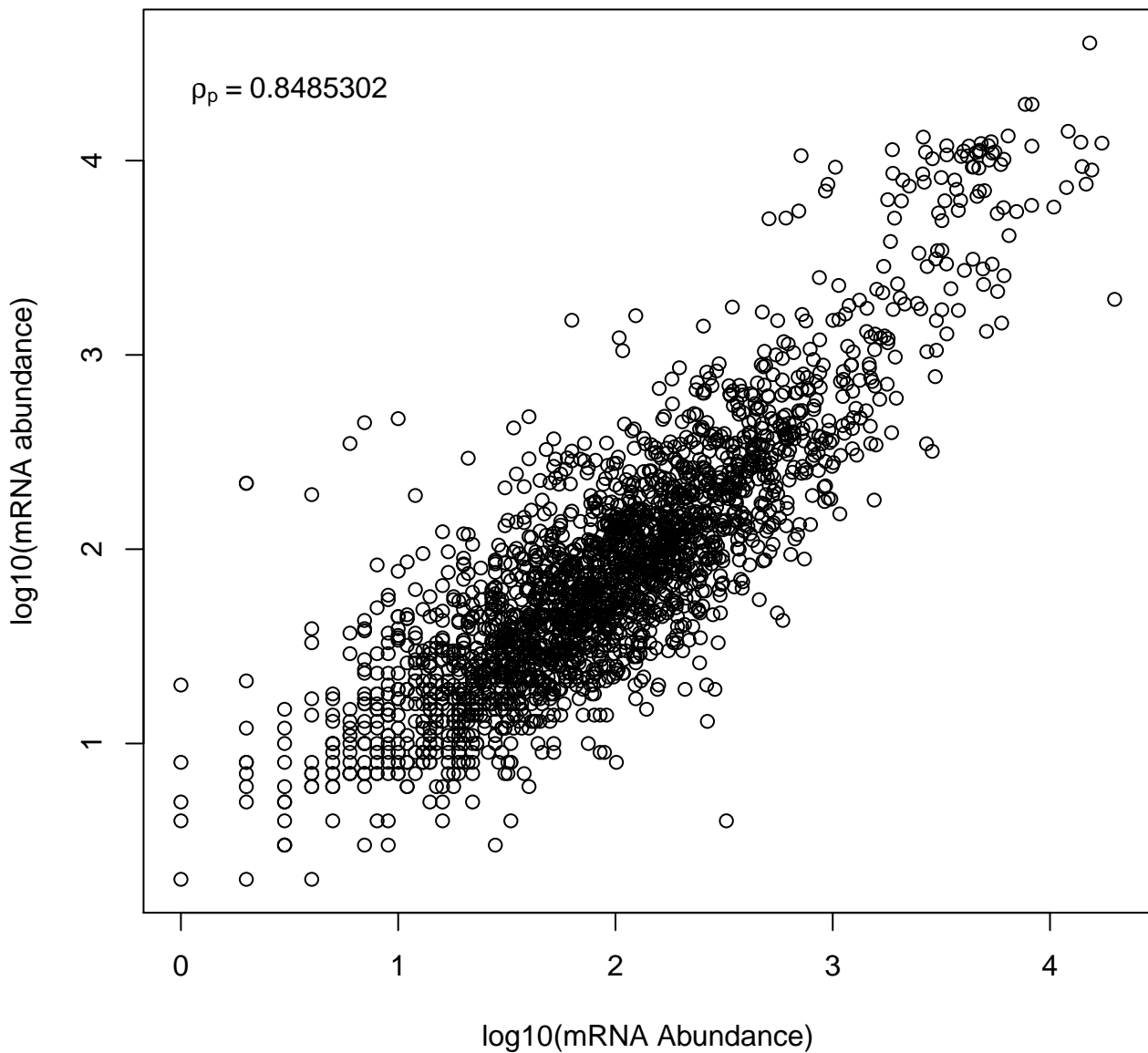
# Sample 13 vs Li et al



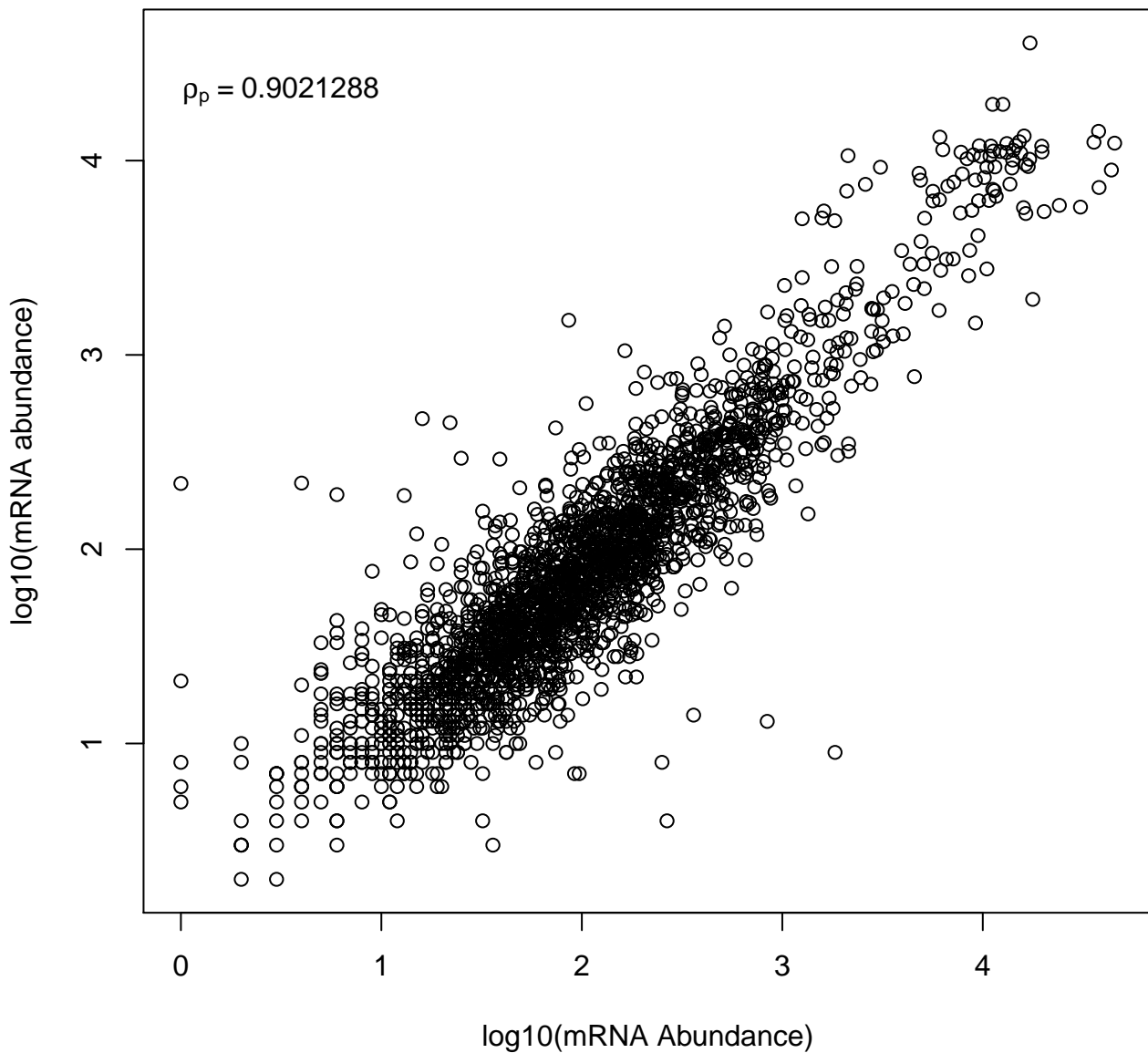
# Sample 14 vs Li et al



# Sample 15 vs Li et al

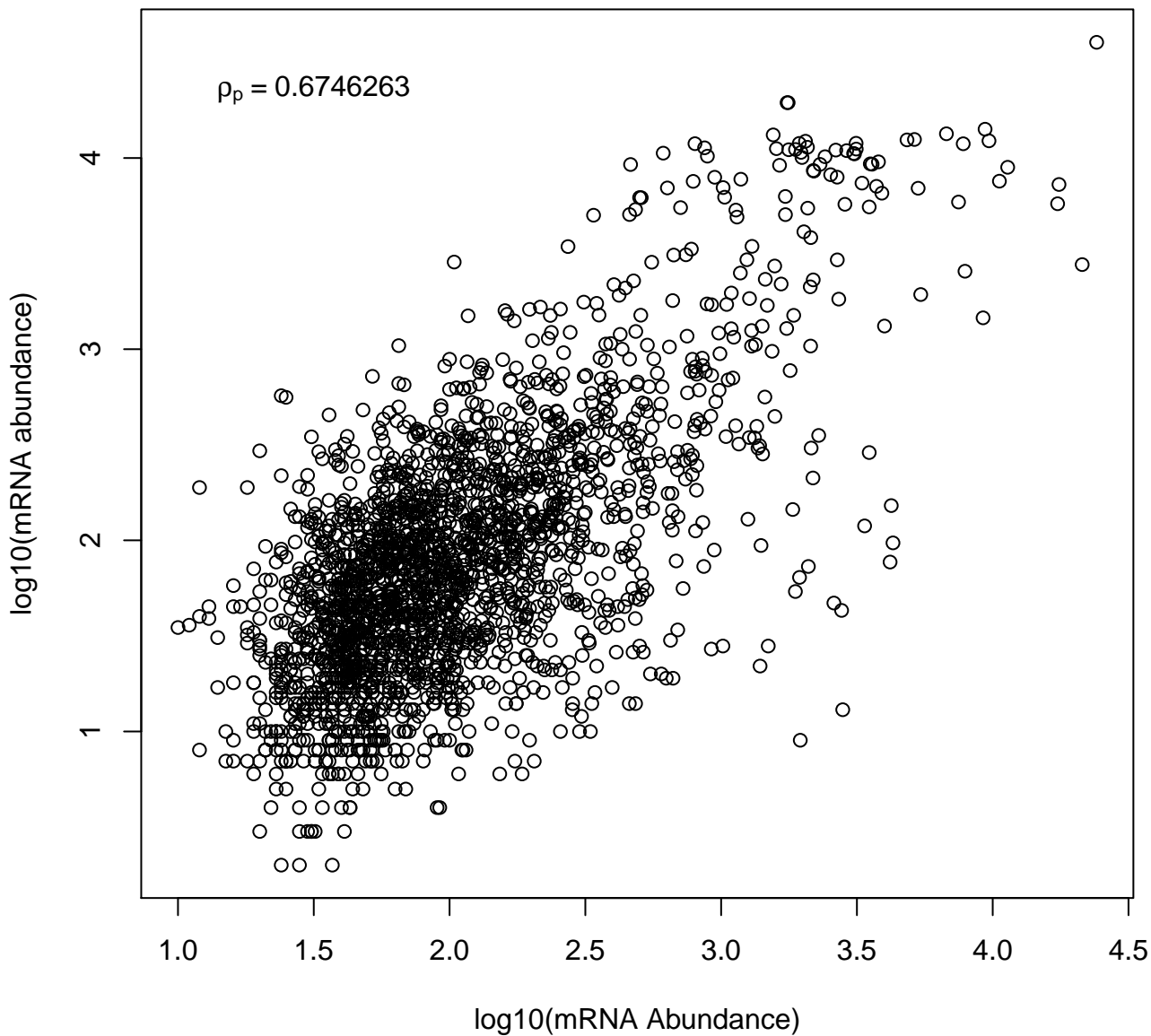


# Sample 16 vs Li et al

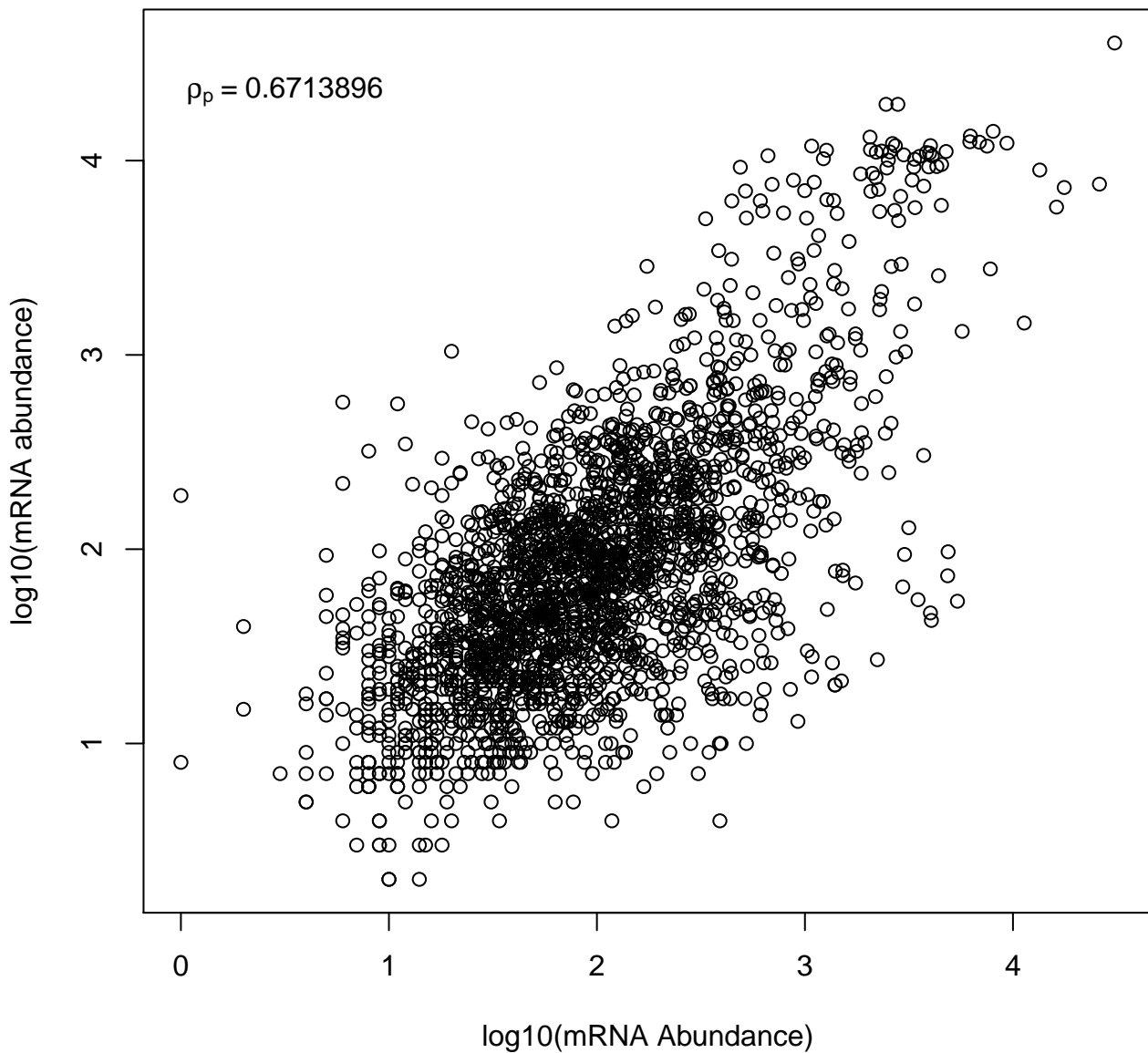




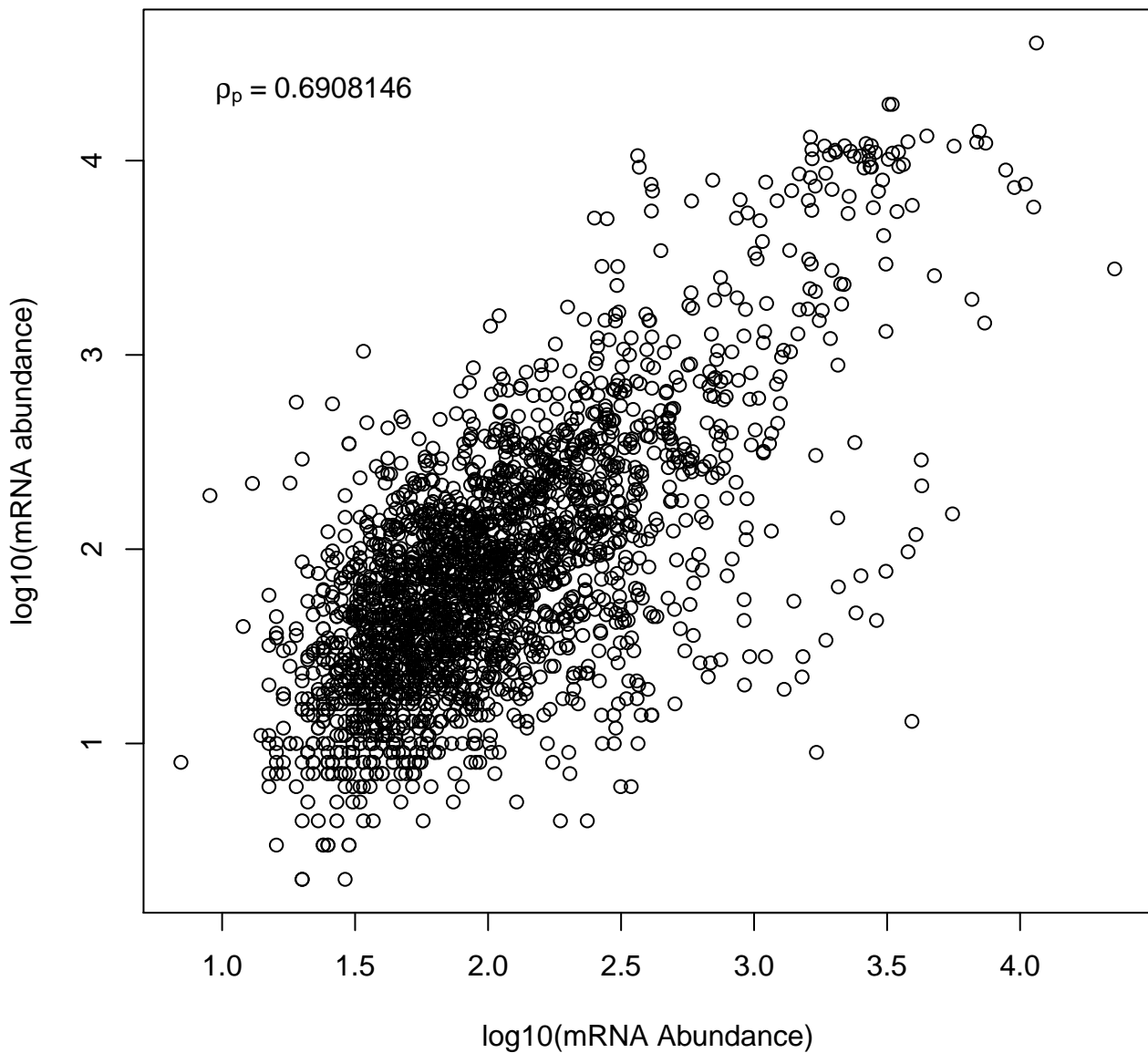
# Sample 17 vs Li et al



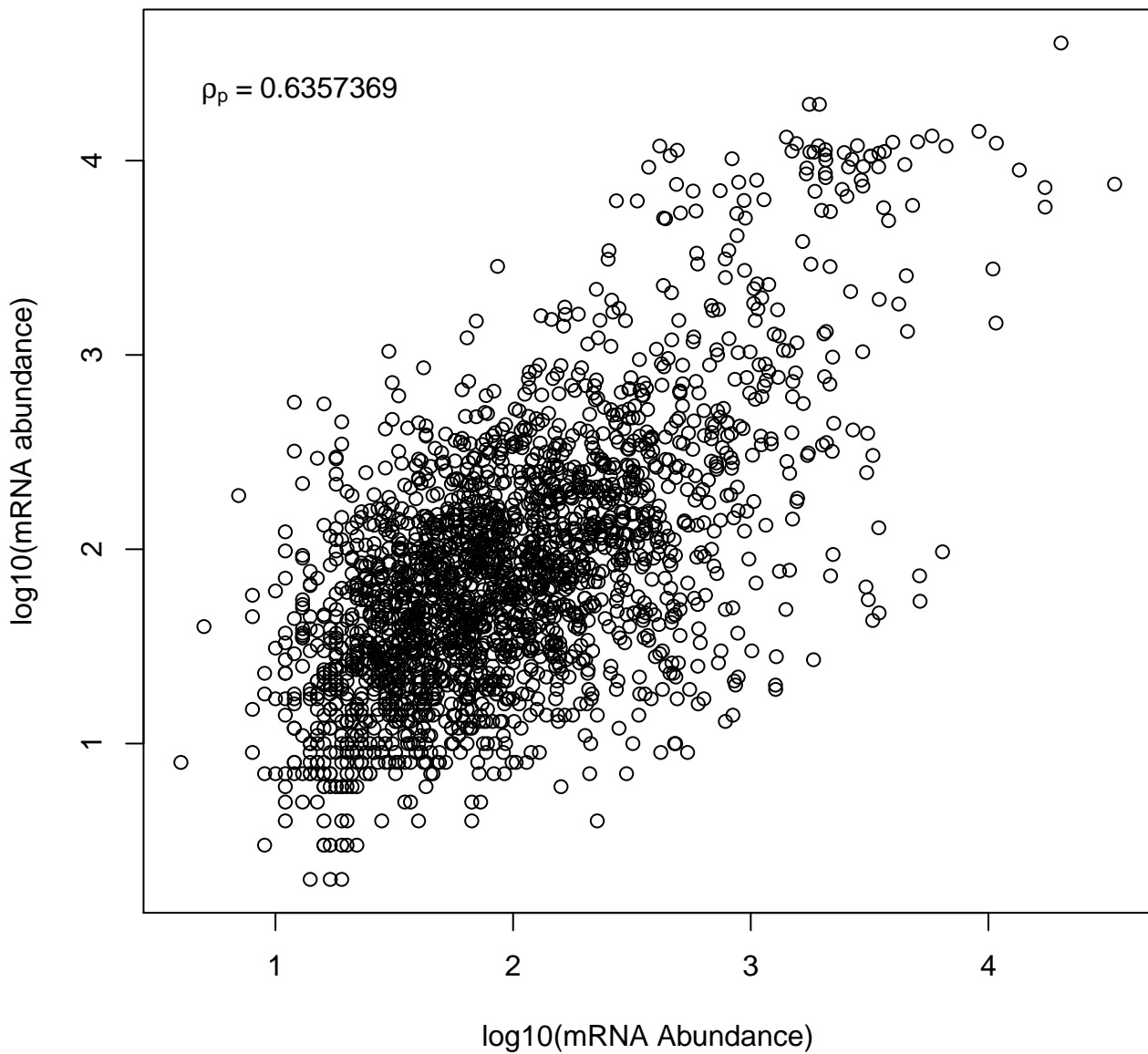
# Sample 18 vs Li et al



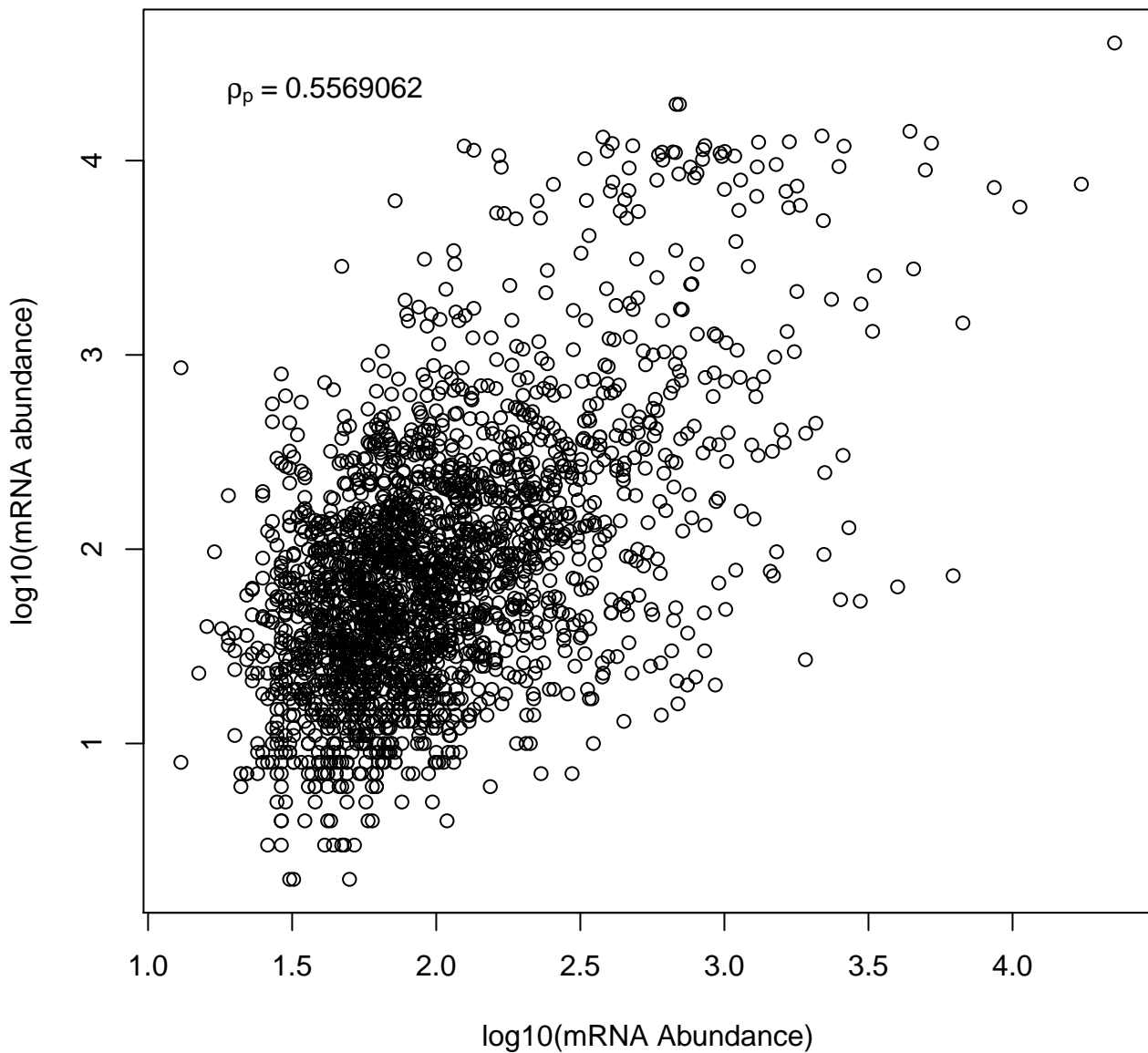
Sample 19 vs Li et al



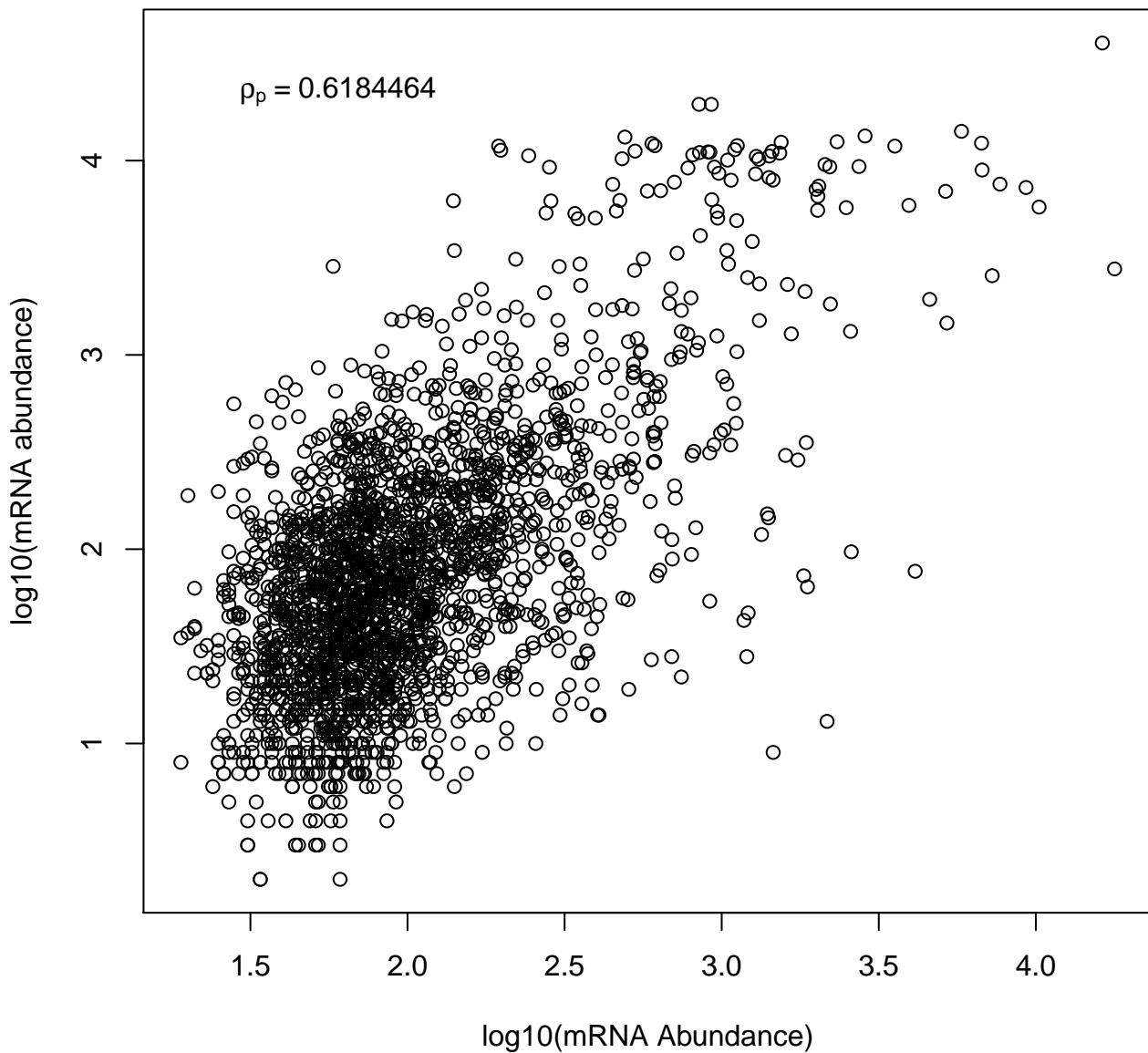
# Sample 20 vs Li et al



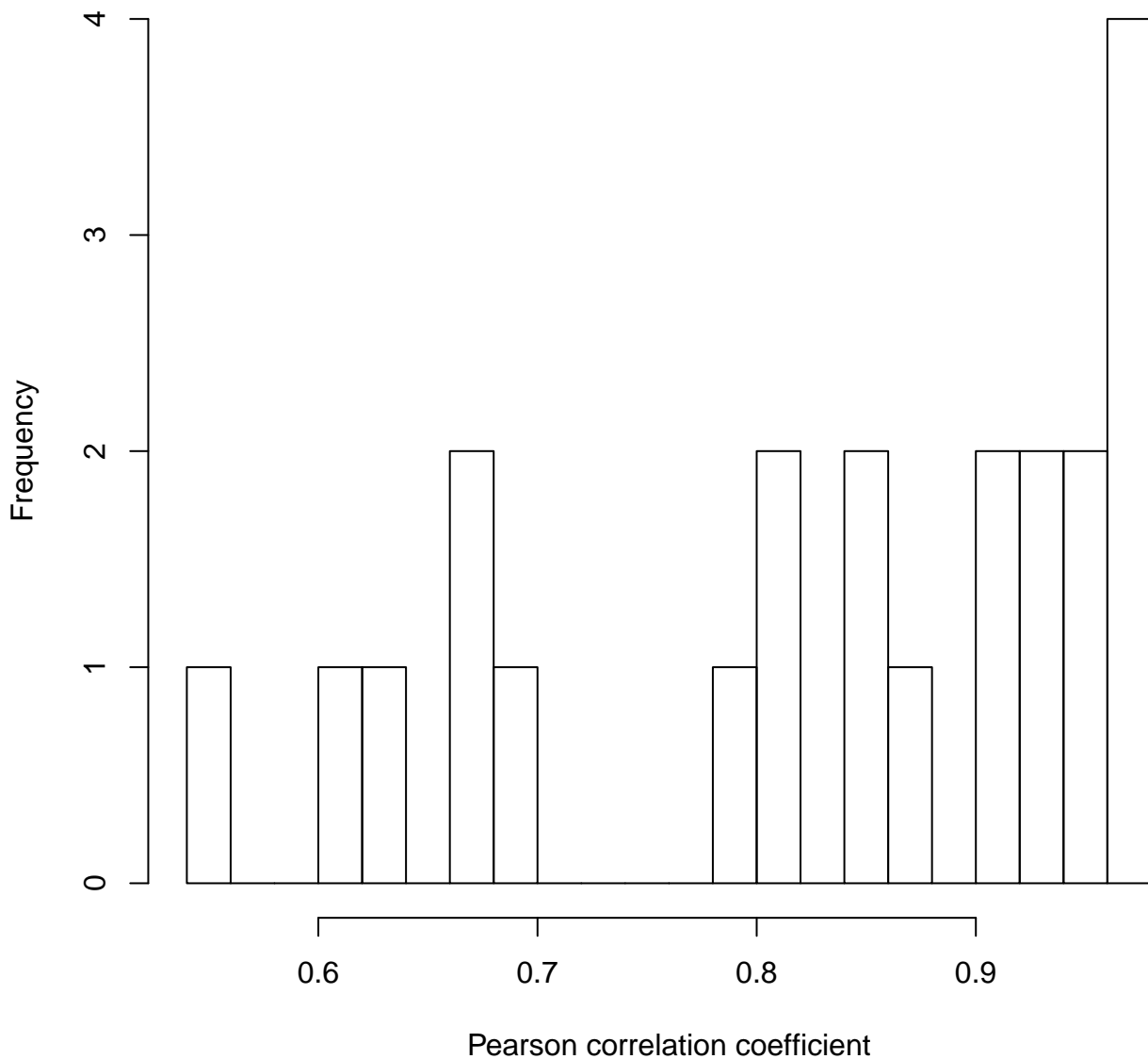
# Sample 21 vs Li et al



# Sample 22 vs Li et al



# Accession GSE45443 with Li et al data



# Accession GSE45443 with Li et al data

